

I-B 137 圧縮側を充填鋼管で補強したRCはりの落錐衝撃載荷実験

日本ゼニスパイプ㈱ 正 塩見昌紀
金沢大学 正 前川幸次
吉田構造工学研究所 正 吉田 博

1. はじめに

鉄筋コンクリートはり（以後、RCはりとする）では早期に起こるコンクリートの圧潰とそれに続く圧縮鉄筋の座屈のために、十分な曲げ変形能を期待することが難しい。圧縮鉄筋の代わりにコンクリートを充填した円形鋼管（以後、CFSTとする）を用いることにより、コンクリートの圧潰領域が小さくなるだけでなく、CFSTは剛性が高いために圧縮鉄筋のような座屈を起こさない。したがって、圧縮側をコンクリート充填鋼管で補強したRCはり（以後、CFST-RCはりとする）の曲げ変形能は、RCはりに比べて十分に大きくなると考えられる。CFST-RCはりの静的曲げ挙動については別途報告し¹⁾、ここでは横衝撃荷重が作用し高エネルギー吸収能を期待されるようなはり部材の開発を目指して行ったCFST-RCはりの落錐式衝撃載荷実験について報告する。

2. 実験概要

試験体の諸元を図-1に示す。CFST-RCはりではコンクリートの充填および鋼管と外側コンクリートの付着を高めるために、鋼管にφ30mmの孔が50mm×45度ピッチで開けられている。また、曲げ変形能に着目するためにせん断スパンを長くするとともに、スターラップによるせん断補強を行っている。CFST-RCはりとRCはりの違いは圧縮側に用いた鋼材のみであり、両者の設計終局曲げ耐力が同程度になるように鋼材量が決められている。なお、鋼材の公称値およびコンクリートの設計基準強度を用い、コンクリートの限界ひずみを0.0035として断面分割法による計算を行った結果、終局曲げ耐力はMud=9.80tfm(CFST-RCはり)およびMud=9.83tfm(RCはり)となった。鋼管内へのコンクリートの充填および鋼管とコンクリートの付着を理想的な状態にするために型枠を直立させて上方(はり端部)から高流動コンクリートを打設し、CFST-RCはり2体(C3, C4)およびRCはり2体(D3, D4)を作製した。コンクリートの配合、実験時のコンクリートの特性値および鋼材の特性値を、それぞれ表-1、表-2および表-3に示す。

落錐衝撃載荷実験装置を写真-1に示す。重錐(1.78tf)は鋼塊をボルト絞めにより一体化したもので、φ50mmの鋼製ガイドパイプに沿って高さ3.1mからはり中央に自由落下する。はり上には、重錐下面の突起部を誘導するための孔を開けた直撃部とロードセルを一体化させた鋼製載荷治具がガイドパイプで支持され、はりと50×180mmの面で接するように設置してある。はりは、間隔が2.8mの支持台に固定された直径100mmの丸鋼で支持されている。

測定項目は、①上記のロードセルによって衝撃荷重、②スパン中央の鉄筋・

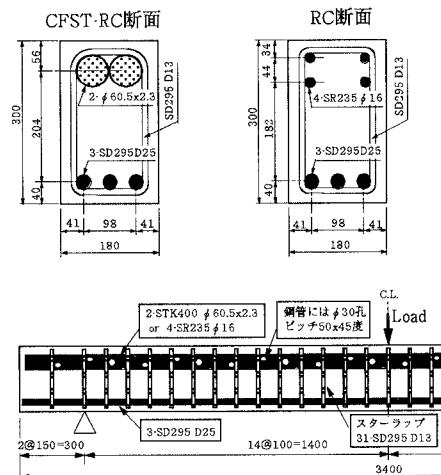


図-1 試験体の諸元

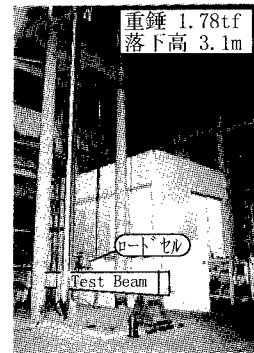


写真-1 落錐衝撃載荷装置

表-1 コンクリート配合 (kgf/m³)

水	セメント	膨張材	ミクダ	砂	粗骨材	混和剤	最大骨材	フロー
166	220	30	280	924	770	5.7	15mm	65cm

表-2 コンクリート特性値

試験体	圧縮強度
C3, D3	54.4 Mpa
C4, D4	49.4 Mpa

表-3 鋼材の特性値

鋼材名	降伏点	引張強度
鋼管(STK400)	396 Mpa	487 Mpa
鉄筋(SD295)	355 Mpa	527 Mpa
鉄筋(SR235)	332 Mpa	456 Mpa

鋼管ひずみ、③重錐上部の加速度、および④エンコーダーによる重錐変位、である。①～③のデータは、DCアンプを経てデジタル変換レコーダーに10kHzで記録した。重錐がリバウンドするまでは、重錐の移動量をはりの載荷点変位とする。なお、エンコーダーのパルスデータ

デジタル変換システムは100Hzのサンプリングであったため、データ整理に当たっては補間を行った。

3. 実験結果

図2において、実線は重錐変位と衝撃力の関係を表し、破線は衝撃力の重錐変位に関する積分値、すなわち重錐からはじに伝達されたエネルギーを表している。図2(a)のCFST-RCはり(C4)では完全破壊に至らなかったので最大変位までの積分値を図中に示し、図2(b)のRCはり(D4)では衝撃力が急激に低下する点を限界変位とし、そこまでの積分値を示してある。また、落下高に最大変位または限界変位を考慮して求めた重錐エネルギーも図中に示してある。CFST-RCはりの伝達エネルギーが重錐エネルギーよりもわずかに大きいが、重錐エネルギーを完全に吸収したと言える。一方、RCはりでは完全破壊のために重錐エネルギーの73%しか伝達されていない。その他の試験体C3, D3についてもそれぞれC4, D4と同様な結果を示した。

CFST-RCはり(C3, C4)は1回の衝撃載荷で完全破壊しなかったので、C4に対して落下高2mの2回目の衝撃載荷を行った。図3には、1回目および2回目の結果がそれぞれ太線および細線で表されている。1回目の載荷では最終変位が156mmで静止したので、この点までを1回目の荷重-変位関係および吸収エネルギーとし、2回目のデータに対する初期値とした。2回目の載荷においても完全破壊とは言えないが、スパン中央部は著しい損傷が見られた。この最大変位までの累積伝達(吸収)エネルギーは8.31tfmである。これは図2(b)のRCはりの限界吸収エネルギーの約1.9倍であり、CFST-RCはりの耐衝撃性が優れていることを示している。

写真2はCFST-RCはりおよびRCはりの破壊状況を示す。RCはりでは、破壊がはり中央部に集中し、圧縮鉄筋が座屈している。

CFST-RCはりでは、引張り側コンクリートの破壊の範囲がRCはりに比べて広いが完全破壊(着地)には至らず、鋼管を開けた孔の一部の潰れた状態(局部座屈)が確認できた。

参考文献 1) 前川幸次、野々山哲治：圧縮側を充填钢管で補強したRCはりの静的曲げ衝撃載荷実験、第52回土木学会年次学術講演会、I-(合成構造), 1995.

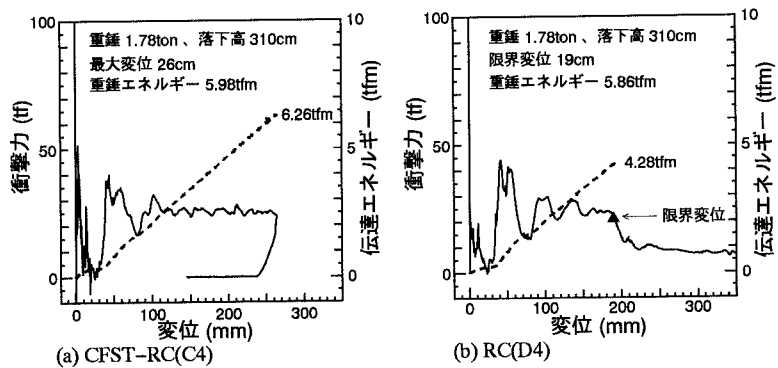


図2 載荷点変位-衝撃力・伝達エネルギー

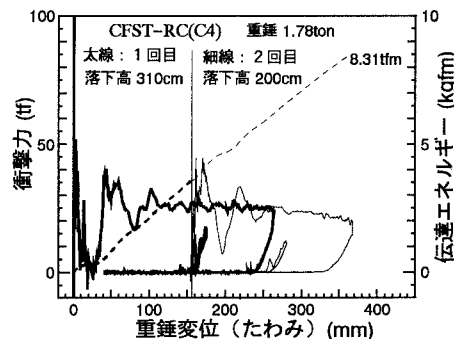


図3 載荷点変位-衝撲力・伝達エネルギー

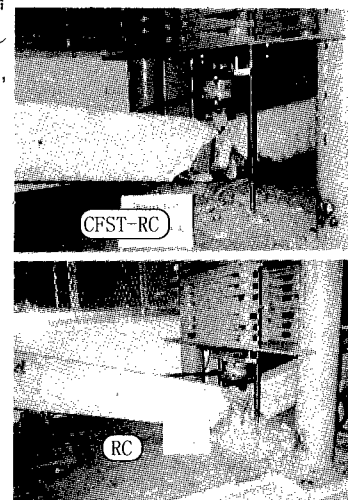


写真2 破壊状況